

С 343 д

К-553

ОБЪЕДИНЕННЫЙ  
ИНСТИТУТ  
ЯДЕРНЫХ  
ИССЛЕДОВАНИЙ

Дубна

ЯФ, 1967, т. 5, в. 3,  
с. 510-513

16/мм

Р - 2796



А.П. Кобзев, А.В. Громов, К. Кашлик, К. Недведюк,  
В.И. Салацкий, С.А. Тележников

Математика и нейтронная физика

ДИФФЕРЕНЦИАЛЬНЫЕ СЕЧЕНИЯ РЕАКЦИЙ  
 $O^{16}(t, \alpha)N^{15}$  И  $O^{16}(t, p)O^{18}$   
В ИНТЕРВАЛЕ ЭНЕРГИЙ 0,6 – 1,75 МЭВ

1966

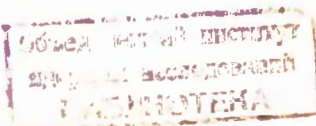
P - 2706

43221/1 19

А.П. Кобзев, А.В. Громов, К. Кашлик, К. Недведюк,  
В.И. Саладкий, С.А. Тележников

ДИФФЕРЕНЦИАЛЬНЫЕ СЕЧЕНИЯ РЕАКЦИЙ  
 $O^{16}(t, \alpha)N^{15}$  И  $O^{16}(t, p)O^{18}$   
В ИНТЕРВАЛЕ ЭНЕРГИЙ 0,6 - 1,75 МЭВ

Направлено в ЯФ



## Введение

Реакция взаимодействия ядер трития и кислорода исследована в работах /1-7/. При энергиях ионов трития до 2 Мэв выполнены только две работы. Джарми /1/ привел полные сечения реакции  $O^{16}(t, n)F^{18}$  в диапазоне энергий ионов трития от 0,68 до 2,13 Мэв. Жерарден и др. /2/ измерили относительную кривую выхода реакции  $O^{16}(t, \alpha_o)N^{15}$  при энергиях от 1,4 до 3,4 Мэв.

До сих пор нет измерений дифференциальных сечений реакций  $O^{16}(t, \alpha)N^{15}$  и  $O^{16}(t, p)O^{18}$  при энергиях ниже 2 Мэв. Целью настоящей работы было восполнить этот пробел и проверить наличие уровней промежуточного ядра  $F^{19}$  в области энергий от 11,68 до 13,18 Мэв.

## Эксперимент

Измерения проводились на электростатическом генераторе на 1,8 Мэв с использованием тонких газовых и твердых мишеней. Входные окна газовых мишеней заклеивались пленками из слюды толщиной от 0,13 мг/см<sup>2</sup> до 0,31 мг/см<sup>2</sup>. Мишени наполнялись  $CO_2$ ,  $O_2$  и воздухом. Технический углекислый газ и кислород очищались от возможных примесей путем перегонки при низких температурах. Воздух, впускаемый в мишени, не осушался, и влажность его была от 85 до 95%. Давление газа в мишенях составляло от 50 до 85 мм рт.ст. и измерялось ртутным манометром. Твердые мишени приготавливались из слюды сорта мусковит толщиной от 0,12 мг/см<sup>2</sup> до 0,24 мг/см<sup>2</sup>.

Для регистрации  $\alpha$  - частиц и протонов, вылетающих из мишеней, применялся детектор, изготовленный из кремния  $p$  - типа, компенсированного литием. Геометрия эксперимента при работе с газовыми мишенями была такова, что детектор "не видел" окон мишени, через которые проходил пучок ионов трития. Импульсы от детектора усиливались специальным усилителем с низким уровнем шумов и подавались на 128-канальный амплитудный анализатор. Так как амплитудный анализатор имел разрешающее время около 150 микросекунд, для определения просчетов анализатора с усилителя с низким уровнем шумов импульсы также подавались через второй усилитель и дискриминатор на пересчетный прибор.

Разрешающее время этой линии регистрации импульсов было примерно вдвадцать раз меньше, чем анализатора. При измерении реакции  $O^{16} + T$  загрузки устанавливались такими, чтобы просчеты анализатора не превышали 5%, при этом точность определения просчетов была не хуже 0,5%.

Энергия ионов трития, падающих на мишень, определялась с помощью магнитного анализатора, прокалиброванного по резонансу при 1117 кэв из реакции  $C^{12}(t, p_0) C^{14}$ . При наполнении мишени углекислым газом калибровка электростатического генератора, как правило, уточнялась по тому же резонансу.

Для контроля чистоты пучка ионов с массой три ( $T^+$ ,  $HHH^+$ ,  $HD^+$ ) при нескольких энергиях были измерены сечения реакции  $D(t, \alpha)_n$  на пучке с массой шесть ( $TT^+$ ) и массой три. Заметного различия в сечениях не было обнаружено, поэтому чистота пучка принималась равной (99,5±0,5)%, как было определено в работе<sup>11/</sup>, выполненной на этом же ускорителе.

Исследование уменьшения плотности газа мишени в области прохождения пучка ионов трития в результате местного нагрева было сделано для данной конструкции мишени по измерению выхода из реакции  $D(t, \alpha)_n$  в зависимости от тока ионов трития. Оказалось, что при изменении тока ионов от 0,004 до 0,1 мка выход не меняется с точностью до экспериментальных ошибок (около 1%). Средний ток ионов трития, падающих на мишень, при исследовании реакции  $O^{16} + T$  составлял около 0,05 мка, поэтому поправки на изменение плотности газа не вносились.

Градуировка интегратора ионного тока производилась неоднократно (во время измерений сечений реакций) при помощи калиброванной ёмкости, разряжаемой через интегратор тока.

В исследуемом диапазоне энергий (0,6 – 1,75 Мэв) можно было наблюдать две группы протонов и две группы  $\alpha$ -частиц, соответствующих следующим каналам реакции:



Разрешить  $\alpha$ -частицы, соответствующие каналам реакции (4) и (5), не было возможности, и они регистрировались как одна группа. Для более надежного выделения вылетающих из реакции заряженных частиц перед детектором устанавливались алюминиевые фольги. Протоны лучше выделялись при толщине фольги более  $2 \text{ мг}/\text{см}^2$ , а  $\alpha$ -частицы – когда толщина фольги была  $0,2 - 0,5 \text{ мг}/\text{см}^2$ .

## Результаты

Дифференциальные сечения реакций  $O^{16}(t, a)N^{15}$  и  $O^{16}(t, p)O^{18}$  под углом  $90^\circ$  л.с., полученные в настоящей работе, приведены в таблице 1 и на рисунке. Энергия взаимодействия ядер трития с ядрами кислорода определена во всем диапазоне с точностью около 1,5%. Основной вклад в эту ошибку вносит точность (1,25%) резонаанса при 1117 кэв в реакции  $C^{12}(t, p_o)C^{14}$ , который был использован для калибровки шкалы энергий. Сечения, приведенные в таблице 1, сняты с кривой, проведенной по большому числу экспериментальных точек, полученных на твердых и газовых мишениях. Сравнение выходов из твердых и газовых мишеней показало хорошее совпадение результатов за исключением районов с резкими максимумами и минимумами, где на твердых мишенях из-за их большей толщины максимумы и минимумы заметно сглаживаются. В таких районах сечения приведены по данным, полученным на газовых мишенях. При энергиях выше 1,83 Мэв измерения проделаны только на твердых мишенях.

Сложная форма кривых дифференциальных сечений позволяет предположить существование нескольких уровней составного ядра  $F^{19}$ , энергия которых приведена в таблице 2. При определении энергий уровней реакция  $O^{16}(t, a_{15^*})N^{15^*}$  не принималась во внимание. Уровни  $F^{19}$ , о которых сообщалось в <sup>/2, 157/</sup>, хорошо согласуются с полученными в настоящей работе.

Сравнение кривой выхода реакции  $O^{16}(t, a_o)N^{15}$  из <sup>/2/</sup> с полученной в настоящей работе в перекрывающемся диапазоне энергий 1,80 – 1,75 Мэв показывает, что ход кривых одинаков, но в работе <sup>/2/</sup> рост выхода примерно в 1,5 раза больше.

В заключение авторы выражают благодарность И.В. Сизову за участие в обсуждении полученных результатов, П.П. Костромину за изготовление слюдяных пленок, а также группе обслуживания электростатического генератора в составе Е.С. Смирнова и Н.Н. Счетчикова.

## Литература

1. N. Jarmie. Phys. Rev., 98 (1955), 41.
2. C. Gerardin, M. Wery, R. Seltz, D. Magnac-Valette. Compt. Rend., 1965, t. 261, N6, 1512.
3. N. Jarmie and M.G. Silbert. Phys. Rev., 120 (1960), 914.
4. F.H. Read and J.M. Calvert. Nucl. Phys., 41 (1963), 210.
5. A.A. Jaffe, F.S. Barros, P.D. Forsyth, J. Muto, I.J. Taylor, S. Ramavataram. Proc. Phys. Soc., 76 (1960), 914.
6. S. Hinds, H. Marchant, R. Middleton. Nucl. Phys., 38 (1962), 81.
7. R. Middleton and D.J. Pullen. Nucl. Phys., 51 (1964), 63.
8. D.J. Pullen, A.E. Litherland, S. Hinds, R. Middleton. Nucl. Phys., 36 (1962), 1.

9. А.М. Говоров, Ли Га Ен, Г.М. Осетинский, В.И. Салапкий, И.В. Сизов. Препринт  
ОИЯИ, Р-725, Дубна, 1981.
10. S.K. Allison and S.D. Warshaw. Rev. Mod. Phys., 25 (1953), 779.
11. А.М. Говоров, Ли Га Ен, Г.М. Осетинский, В.И. Салапкий, И.В. Сизов. ЖЭТФ, 41  
(1961), 703.
12. J.P. Blaser, F. Boem, P. Marmier, P. Scherrer. Helv. Phys., 24 (1951), 465.

Рукопись поступила в издательский отдел  
14 июня 1966 г.

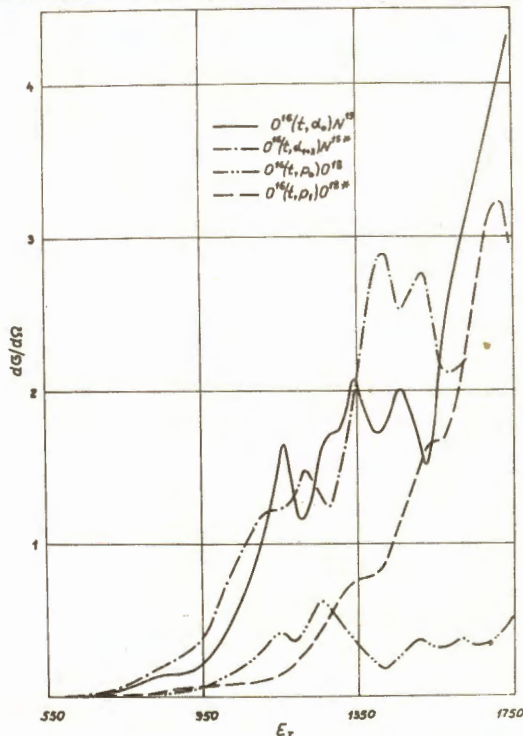
Таблица I  
Дифференциальные сечения реакций  $O^{16}(t, \alpha)N^{15}$  и  $O^{16}(t, p)O^{18}$   
под углом  $90^\circ$  л.с.

Энергия ионов трития, кэв	$O^{16}(t, \alpha_0)N^{15}$		$O^{16}(t, \alpha_{1+2})N^{15*}$		$O^{16}(t, p_0)O^{18}$		$O^{16}(t, p_1)O^{18*}$	
	сечение, мбарн стераd.	эксперим. ошибка, мбарн стераd.	сечение, мбарн стераd.	эксперим. ошибка, мбарн стераd.	сечение, мбарн стераd.	эксперим. ошибка, мбарн стераd.	сечение, мбарн стераd.	эксперим. ошибка, мбарн стераd.
590			0,010	0,004				
610	0,002	0,001	0,014	0,006				
625	0,005	0,002	0,016	0,006				
640	0,008	0,002	0,019	0,008	0,003	0,001		
650	0,009	0,002	0,021	0,005	0,003	0,001		
675	0,015	0,003	0,030	0,006	0,004	0,001		
700	0,022	0,004	0,043	0,008	0,006	0,002		
725	0,028	0,004	0,062	0,009	0,008	0,002		
750	0,050	0,007	0,089	0,013	0,011	0,002		
760	0,060	0,009	0,100	0,015	0,012	0,002	0,010	0,002
775	0,075	0,011	0,117	0,018	0,014	0,002	0,015	0,002
800	0,100	0,012	0,151	0,019	0,018	0,002	0,022	0,003
825	0,124	0,012	0,185	0,018	0,023	0,002	0,030	0,004
850	0,148	0,012	0,209	0,021	0,030	0,002	0,040	0,005
875	0,150	0,011	0,253	0,025	0,037	0,003	0,049	0,006
900	0,151	0,011	0,287	0,029	0,046	0,003	0,058	0,007
925	0,177	0,012	0,33	0,03	0,058	0,003	0,064	0,008
950	0,231	0,016	0,39	0,04	0,078	0,005	0,069	0,008
975	0,283	0,020	0,51	0,05	0,104	0,006	0,074	0,009
I000	0,38	0,02	0,68	0,07	0,132	0,007	0,080	0,009
I025	0,49	0,02	0,82	0,06	0,162	0,008	0,086	0,009
I050	0,63	0,03	0,94	0,07	0,202	0,010	0,093	0,009
I075	0,79	0,03	I,07	0,07	0,256	0,013	0,101	0,010
II00	0,99	0,03	I,19	0,07	0,312	0,014	0,109	0,011
II25	I,25	0,04	I,23	0,06	0,385	0,015	0,122	0,012
II40	I,43	0,04	I,23	0,06	0,420	0,017	0,139	0,014
II50	I,54	0,05	I,23	0,06	0,427	0,017	0,155	0,014
II60	I,64	0,05	I,23	0,06	0,423	0,017	0,176	0,014
II80	I,40	0,04	I,29	0,06	0,374	0,015	0,218	0,017
II87	I,31	0,04	I,32	0,07	0,366	0,015	0,232	0,019
II95	I,22	0,04	I,36	0,07	0,378	0,015	0,248	0,020
I200	I,19	0,04	I,39	0,07	0,400	0,016	0,260	0,021
I210	I,16	0,04	I,46	0,07	0,448	0,018	0,285	0,023
I215	I,18	0,04	I,49	0,07	0,470	0,019	0,30	0,03
I225	I,25	0,04	I,46	0,07	0,517	0,021	0,33	0,03

Энергия ионов трития, кэВ	$O^{16}(t, \alpha_o)N^{15}$		$O^{16}(t, \alpha_{(+2)})N^{15*}$		$O^{16}(t, p_0)O^{18}$		$O^{16}(t, p_1)O^{18*}$	
	сечение, мбарн стераd.	эксперим. ошибка, мбарн стераd.	сечение, мбарн стераd.	эксперим. ошибка, мбарн стераd.	сечение, мбарн стераd.	эксперим. ошибка, мбарн стераd.	сечение, мбарн стераd.	эксперим. ошибка, мбарн стераd.
I250	1,55	0,05	1,35	0,08	0,630	0,025	0,42	0,03
I255	1,58	0,05	1,33	0,09	0,634	0,025	0,43	0,03
I275	1,70	0,05	1,25	0,09	0,575	0,023	0,52	0,04
I280	1,72	0,05	1,25	0,09	0,560	0,028	0,54	0,04
I300	1,73	0,05	1,44	0,10	0,495	0,025	0,64	0,04
I325	1,95	0,06	1,77	0,12	0,415	0,021	0,72	0,05
I340	2,07	0,06	1,99	0,14	0,367	0,018	0,76	0,05
I350	2,01	0,06	2,14	0,13	0,338	0,020	0,77	0,05
I360	1,92	0,06	2,28	0,11	0,313	0,019	0,78	0,05
I375	1,82	0,05	2,51	0,13	0,274	0,016	0,78	0,05
I390	1,73	0,05	2,75	0,13	0,235	0,014	0,79	0,05
I400	1,72	0,05	2,86	0,14	0,210	0,013	0,81	0,05
I415	1,73	0,05	2,90	0,14	0,185	0,011	0,85	0,05
I425	1,79	0,05	2,86	0,14	0,200	0,012	0,91	0,05
I450	1,97	0,06	2,60	0,13	0,260	0,016	1,09	0,06
I460	2,00	0,06	2,53	0,13	0,283	0,017	1,16	0,06
I475	1,94	0,06	2,59	0,13	0,318	0,019	1,26	0,06
I500	1,73	0,05	2,71	0,14	0,377	0,023	1,44	0,07
I505	1,67	0,05	2,74	0,14	0,385	0,023	1,48	0,07
I515	1,58	0,05	2,77	0,14	0,373	0,022	1,55	0,08
I525	1,51	0,05	2,72	0,14	0,361	0,022	1,62	0,08
I530	1,55	0,05	2,66	0,13	0,353	0,021	1,65	0,08
I540	1,70	0,05	2,52	0,13	0,340	0,020	1,66	0,08
I550	1,89	0,06	2,40	0,12	0,328	0,020	1,66	0,08
I558	2,08	0,06	2,17	0,11	0,322	0,019	1,66	0,08
I575	2,44	0,07	2,13	0,11	0,337	0,020	1,70	0,08
I600	2,79	0,10	2,13	0,11	0,375	0,026	1,91	0,09
I613	2,94	0,12	2,16	0,11	0,389	0,027	2,07	0,10
I625	3,06	0,12	2,20	0,11	0,373	0,026	2,23	0,11
I650	3,34	0,13			0,344	0,024	2,60	0,13
I675	3,62	0,14			0,357	0,025	2,97	0,15
I700	3,89	0,15			0,394	0,028	3,20	0,16
I713	4,03	0,16			0,420	0,029	3,23	0,16
I720	4,11	0,16			0,437	0,031	3,21	0,16
I730	4,22	0,17			0,473	0,033	3,11	0,16
I740	4,30	0,17			0,516	0,036	2,95	0,15

Таблица 2  
Резонансы в реакциях  $O^{16}(t, \alpha)N^{15}$  и  $O^{16}(t, p)O^{18}$

Энергия ионов трития, кэв				Уровни энергий $F^{19}$ , кэв	
$O^{16}(t, \alpha_0)N^{15}$	$O^{16}(t, p_0)O^{18}$	$O^{16}(t, p_1)O^{18}*$	$O^{16}(t, \alpha_{+2})N^{15}*$	настоящая работа	известные уровни
$855 \pm 30$				$I24I3 \pm 30$	
$I160 \pm 15$	$I150 \pm 15$		$I110 \pm 30$	$I266I \pm 15$	
$I270 \pm 30$	$I255 \pm 18$		$I215 \pm 18$	$I2750 \pm 20$	
$I342 \pm 20$		$I340 \pm 30$		$I2822 \pm 20$	
$I460 \pm 20$			$I4I3 \pm 2I$	$I2922 \pm 20$	
	$I505 \pm 22$	$I535 \pm 30$	$I5I5 \pm 22$	$I2973 \pm 25$	
	$I6I3 \pm 24$	$I7I3 \pm 26$		$I305I \pm 25$	
				$I3I36 \pm 25$	$I3070 \pm 40 / 2 /$



Дифференциальные сечения реакции  $O^{16} + T$  под углом  $80^\circ$  п.с. Энергия в кэв, сечение в мби/стэр.